

# Transfer Matrixによる鋼床版連続げた橋のShear lag解析

大阪市立大学工学部 正員 中井 博  
 " " 〇事口 寿男

## 1. まえがき

本文は、著者等がすでに発表した鋼床版げた橋のShear lagに関する理論的解析に基づいて、Transfer Matrixを用いることにより、着目断面に最も不利な応力状態になるような載荷状態を求め、そのときの連続げた橋のShear lagを解析し、かつ、有効幅を算定するものである。

## 2. 基礎式

解析は図-1に示すT形断面を対象として行なう。なお、基礎式の誘導は文献<sup>(1,2)</sup>を参照された。まず、Galerkin法の一般化によって、けたのためみ $w$ 、Shear lagによって生じる軸方向変位 $f$ に関する連立方程式はつぎのようになる。

$$\left. \begin{aligned} \alpha^2 f / dx^2 - \alpha^2 f &= \eta \cdot dM / dx \\ d^2 w / dx^2 &= -M / EI - \gamma df / dx \end{aligned} \right\} \dots (1)$$

$$\left. \begin{aligned} \alpha^2 &= 2GtuI / Eb \left\{ AuI \left( \frac{4}{5} - \frac{2Au}{3F} \right) - \frac{4}{3} Su^2 \right\} \\ \eta &= \frac{Su}{E} \left\{ AuI \left( \frac{4}{5} - \frac{2Au}{3F} \right) - \frac{4}{3} Su^2 \right\} \\ \gamma &= \frac{4}{3} SuI \end{aligned} \right\} \dots (2)$$

また、 $N = df/dx \cdot EI/l^2$  とおけば、 $N$ はShear lagによって生じる軸方向力（たがし、幅員方向に変化する）と定義できるものである。

## 3. Transfer Matrix

計算を簡単化し、精度を向上させるために、断面力・変形量は基準量（ $P_c, l_c, I_c$ など）を用いて、つぎのように無次元化する。

$$\left. \begin{aligned} f &= f^* P_c (l_c / \alpha_c^2) / \cosh \alpha_c l_c, \quad w = w^* P_c l_c^3 / EI_c, \quad \varphi = \varphi^* P_c l_c^2 / EI_c \\ M &= M^* P_c l_c, \quad Q = Q^* P_c / \cosh \alpha_c l_c, \quad N = N^* P_c (l_c / \alpha_c) (EI_c / l_c^2) / \cosh \alpha_c l_c \end{aligned} \right\} \dots (3)$$

つぎに、代表的な境界条件を表-1に示す。

表-1 境界条件

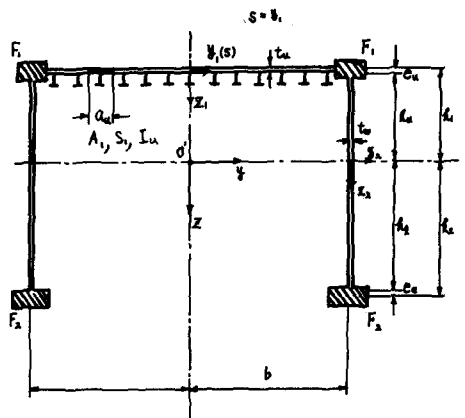
	単純支持	固定	自由	バネ支承
自由量	$f_1(0), \varphi_1(0), Q_1(0)$	$M_1(0), Q_1(0), N_1(0)$	$f_1(0), w_1(0), \varphi_1(0)$	$f_1(0), w_1(0), \varphi_1(0)$
境界条件	$N_n(l_n) = 0, M_n(l_n) = 0, w_n(l_n) = 0$	$\varphi_n(l_n) = 0, w_n(l_n) = 0, f_n(l_n) = 0$	$N_n(l_n) = 0, Q_n(l_n) = 0, M_n(l_n) = 0$	$M_n(l_n) = -K \varphi_n(l_n), Q_n(l_n) = k w_n(l_n), N_n(l_n) = 0$

### 1) Field Transfer Matrix

$$Y_k^*(l_k) = \bar{A}_k Y_k^*(0) \dots (4)$$

で表わされるField Transfer Matrixを示せば式(5)となる。こゝに、

図-1 T形断面



$$\begin{aligned}
 f_{15} &= \eta_{kc} \cdot dck^2 \cdot (\cosh \alpha n L_n - 1) \\
 f_{16} &= Lkc^2 \cdot I_{ck} \cdot dck \cdot \sinh \alpha n L_n \\
 f_{21} &= -\{ (EI_c \cdot \gamma_n \eta_c) \cdot dck / (dck)^3 / \cosh \alpha dck \cdot (\sinh \alpha n L_n - \alpha n L_n) \\
 f_{25} &= -\{ (EI_c \cdot \gamma_n \eta_c) \cdot \eta_{kc} \cdot dck^3 / (dck)^3 \cdot (\sinh \alpha n L_n - \alpha n L_n) \\
 &\quad + \frac{1}{2} Lkc^2 I_{ck} \} / \cosh \alpha dck \\
 f_{26} &= -\{ (EI_c \cdot \gamma_n \eta_c) \cdot Lkc^2 \cdot I_{ck} \cdot dck^2 / (dck)^3 / \cosh \alpha dck \cdot (\cosh \alpha n L_n - 1) \\
 f_{31} &= -\{ (EI_c \cdot \gamma_n \eta_c) / (dck)^2 / \cosh \alpha dck \cdot (\cosh \alpha n L_n - 1) \\
 f_{35} &= -\{ (EI_c \cdot \gamma_n \eta_c) \cdot \eta_{kc} \cdot dck^2 / (dck)^2 \cdot (\cosh \alpha n L_n - 1) \\
 &\quad + \frac{1}{2} Lkc^2 I_{ck} \} / \cosh \alpha dck \\
 f_{36} &= -\{ (EI_c \cdot \gamma_n \eta_c) \cdot I_{ck} \cdot Lkc^2 \cdot dck / (dck)^2 / \cosh \alpha dck \cdot \sinh \alpha n L_n \\
 f_{61} &= 1.0 / f_{16}, \quad f_{45} = Lkc / \cosh \alpha dck \\
 f_{45} &= \eta_{kc} \cdot Lkc^2 \cdot I_{ck} \cdot dck \cdot \sinh \alpha n L_n
 \end{aligned}$$

$$\mathbb{F}_R^* = \begin{pmatrix} f^* & w^* & \varphi^* & M^* & Q^* & N^* & 1 \\
 \cosh \alpha n L_n & 0 & 0 & 0 & f_{15} & f_{16} & f_{17} \\
 f_{21} & 1 & Lkc & -\frac{1}{2} Lkc I_{ck} & f_{25} & f_{26} & f_{27} \\
 f_{31} & 0 & 1 & -Lkc I_{ck} & f_{35} & f_{36} & f_{37} \\
 0 & 0 & 0 & 1 & f_{45} & 0 & f_{47} \\
 0 & 0 & 0 & 0 & 1 & 0 & f_{57} \\
 f_{61} & 0 & 0 & 0 & f_{65} & \cosh \alpha n L_n & f_{67} \\
 0 & 0 & 0 & 0 & 0 & 0 & 1 \end{pmatrix} \quad (5)$$

図-2 載荷状態 (L 荷重)

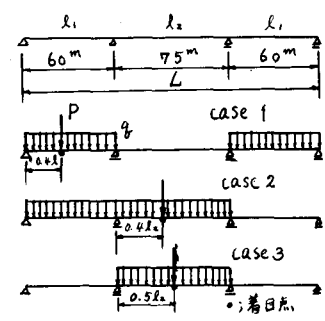
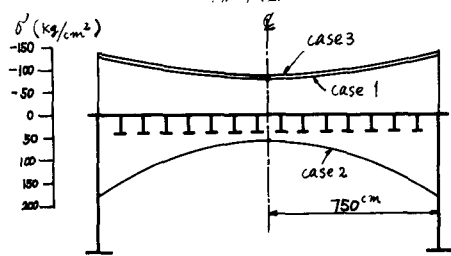


図-3 フランジプレートに伝力(\$\sigma'\$)分布図



つぎに、等分布荷重に対する荷重項 (\$f\_{17}, f\_{27}\$) を示す。  
 $f_{17} = -\eta_{kc} \cdot dck^3 / (dck) \cdot (\sinh \alpha n L_n - \alpha n L_n) \cdot \cosh \alpha dck$   
 $f_{27} = -\eta_{kc} \cdot Lkc^2 \cdot I_{ck} \cdot dck^2 / (dck) \cdot (\cosh \alpha n L_n - 1) \cdot \cosh \alpha dck$   
 ただし、 $A_{kc} = A_k / A_c$  であり、サマックスCは基準量を示すものである。

4. 有効幅

$$b_m = \int_0^b \sigma_x dy / [\sigma_x]_{y=b} \quad (6)$$

式(6)で有効幅を求めるとT形断面のときは、つぎのようになる。

$$b_m / b = 1 - \frac{\frac{2}{3} \frac{L^2}{k_u} N}{M + \frac{2}{3} \frac{L^2}{k_u} k N} \quad (7)$$

5. 数値計算例

図-2に示すように、有効幅を求めるところに着目して荷重状態を決定する。各caseについて、フランジプレートの応力分布図を図-3に示す。ただし、断面常数は、 $b = 7.5m$ ,  $t = 3.0m$ ,  $F_1 = 220cm^2$ ,  $F_2 = 450cm^2$ ,  $t_u = 1.2cm$ ,  $t_w = 1.1cm$ ,  $I = 7.81 \times 10^8 cm^4$ ,  $u = 32cm$ ,  $S_1 = 210 cm^3$ ,  $I_u = 673 cm^4$ ,  $\alpha = 1.79 \times 10^{-3} cm^{-1}$ ,  $\eta = 1.80 \times 10^{-11} kg^{-1} cm^{-1}$ ,  $\gamma = 1.94 \times 10^{-3} cm^{-1}$

つぎに、各caseについて、式(7)を用いてフランジプレートに有効幅を求めると表-2のようになる。

6. あとがき

鋼床版連続げた橋の有効幅を合理的な算定式で求めるために、荷重状態・支間長・スパン割断面形状などによって、有効幅がどのように影響されるかについては、講演会当日発表する予定であります。

表-2 有効幅

	CASE 1	CASE 2	CASE 3
$b_m/b$	0.74	0.55	0.75

参考文献 1) 小松 “連続箱桁の Shear Lag について” 土木学会論文集 58号  
 2) 近藤・小松・中井 “鋼床版桁橋の有効幅に関する研究” 土木学会論文集 86号